

# Trabalho Final de Mecânica dos Sólidos I-A

Hugo Matheus Vaz de Araújo e João Henrique Lima de  
Vasconcelos

## Memorial de Cálculo de Tensões



DEPARTAMENTO DE ENGENHARIA MECÂNICA  
UNIVERSIDADE FEDERAL DO RIO GRANDE DO SUL  
4 DE MAIO DE 2021

# Índice

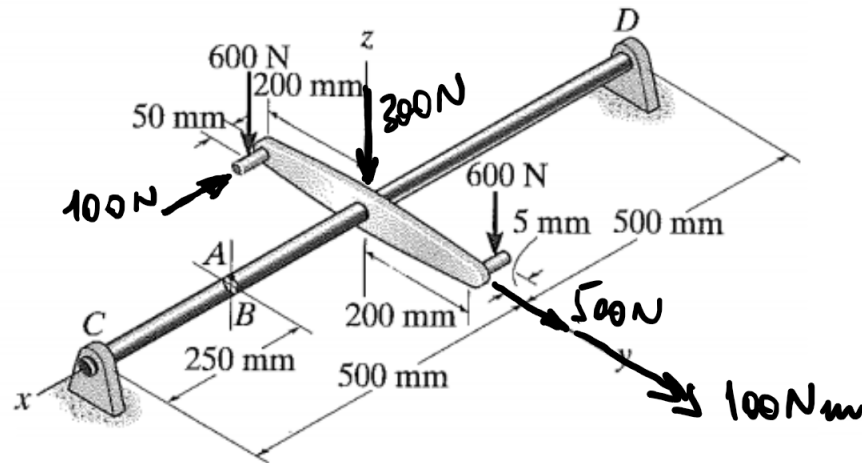
<b>1</b>	<b>O problema</b>	<b>2</b>
<b>2</b>	<b>Cálculo das reações de apoio</b>	<b>2</b>
<b>3</b>	<b>Cálculo dos esforços internos</b>	<b>3</b>
<b>4</b>	<b>Cálculo das Tensões</b>	<b>4</b>
4.1	Cálculo dos momentos de inércia . . . . .	5
4.2	Tensão Normal . . . . .	5
4.2.1	Tensão normal devido a $N$ . . . . .	5
4.2.2	Tensão normal devido a $M_y$ . . . . .	5
4.2.3	Tensão normal devido a $M_z$ . . . . .	6
4.2.4	Tensão normal equivalente . . . . .	6
4.3	Cálculo das tensões cisalhantes . . . . .	6
4.3.1	Tensão cisalhante devido a $M_x$ . . . . .	7
4.3.2	Tensão cisalhante devido a $V_y$ . . . . .	7
4.3.3	Tensão cisalhante devido a $V_z$ . . . . .	8
4.4	Cálculo das tensões equivalentes . . . . .	8
<b>5</b>	<b>Cálculo dos coeficientes de segurança</b>	<b>9</b>
<b>6</b>	<b>Conclusão</b>	<b>9</b>

## Resumo

O objetivo deste trabalho é demonstrar os conteúdos aprendidos na disciplina Mecânica dos Sólidos I-A analisando o estado de tensões e os coeficientes de segurança de uma estrutura.

# 1 O problema

O eixo CD é circular maciço e tem diâmetro de 10 mm. Determinar o estado de tensões nos pontos A e B e os coeficientes de segurança segundo a TMED, em ambos pontos, sabendo que o eixo é feito de aço ASTM A36 ( $\sigma_{esc} = 250 \text{ MPa}$ ). O mancal em C restringe todas translações e o mancal em D apenas as translações em z e y.



## 2 Cálculo das reações de apoio

O primeiro passo para resolver o problema será calcular as reações de apoio. Para calculá-las foi montado o diagrama de corpo livre (DCL) da estrutura como mostra a figura 3.

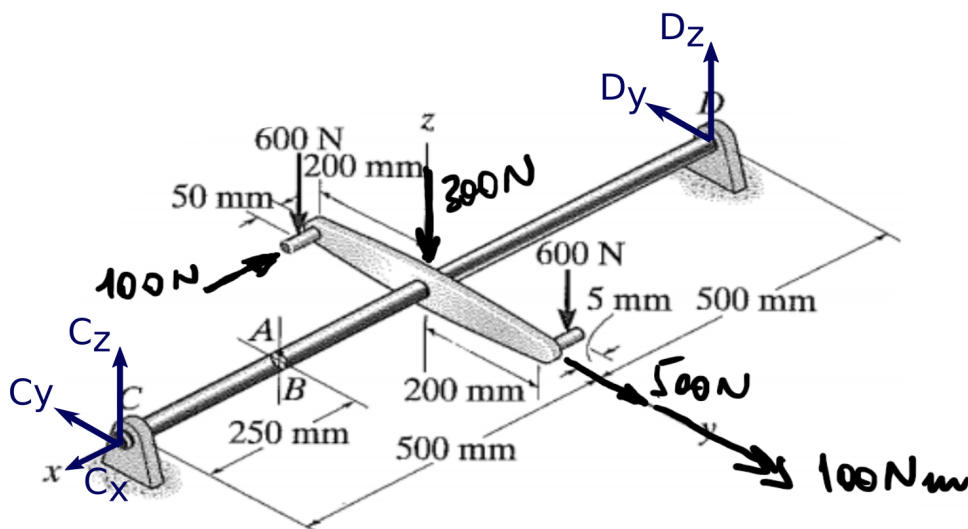


Figura 1: Diagrama de corpo livre das reações de apoio

A estrutura está estática logo, é possível equacionar seu equilíbrio como mostra a equação 1.

$$\begin{cases} \Sigma F_x = 0 \\ \Sigma F_y = 0 \\ \Sigma F_z = 0 \\ \Sigma M_x = 0 \\ \Sigma M_y = 0 \\ \Sigma M_z = 0 \end{cases} \Rightarrow \begin{cases} C_x = 100 \\ C_y + D_y = 500 \\ C_z + D_z = 600 + 300 + 600 = 1500 \\ 600 \cdot 0,2 = 600 \cdot 0,2 \\ C_z \cdot 0,5 - D_z \cdot 0,5 = 600 \cdot 0,05 - 600 \cdot 0,005 + 100 = 127 \\ C_y \cdot 0,5 - D_y \cdot 0,5 = -100 \cdot 0,2 = -20 \end{cases} \quad (1)$$

Há 4 equações e 4 variáveis, assim é possível resolver o sistema de forma matricial como mostra a equação 2.

$$\begin{bmatrix} 1 & 1 & 0 & 0 \\ 0 & 0 & 1 & 1 \\ 0 & 0 & 0,5 & -0,5 \\ 0,5 & -0,5 & 0 & 0 \end{bmatrix} \begin{bmatrix} C_y \\ D_y \\ C_z \\ D_z \end{bmatrix} = \begin{bmatrix} 500 \\ 1500 \\ 127 \\ -20 \end{bmatrix} \quad (2)$$

Resolvendo o sistema tem-se os valores das reações de apoio como mostra a equação 3.

$$\begin{aligned} C_x &= 100 \text{ N} \\ C_y &= 270 \text{ N} \\ D_y &= 230 \text{ N} \\ C_z &= 877 \text{ N} \\ D_z &= 623 \text{ N} \end{aligned} \quad (3)$$

### 3 Cálculo dos esforços internos

O próximo passo para resolver o problema será calcular os esforços internos na seção que contem os pontos A e B, denominada seção G. No trabalho utilizaremos a convenção demonstrada na figura 2.

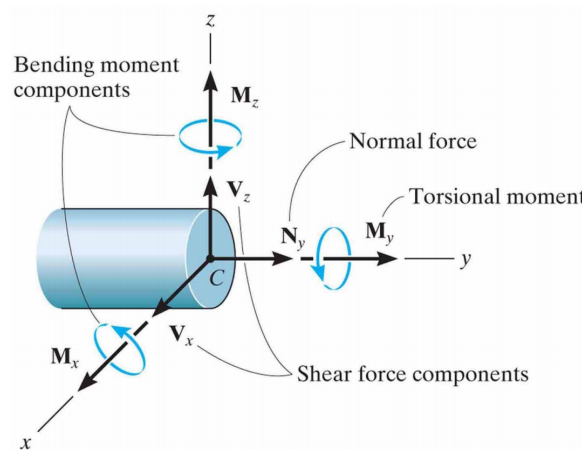


Figura 2: Convenção de esforços internos<sup>3</sup>

Para o cálculos dos esforços na seção G, montou-se o diagrama de corpo livre da estrutura como mostra a figura 3.

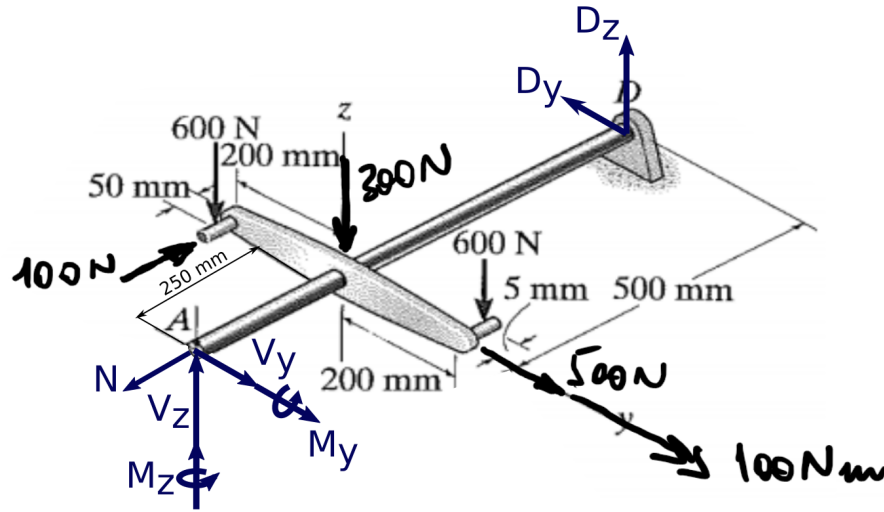


Figura 3: Diagrama de corpo livre dos esforços internos em G

A estrutura está estática logo, é possível equacionar seu equilíbrio como mostra 4.

$$\begin{cases} \Sigma F_x = 0 \\ \Sigma F_y = 0 \\ \Sigma F_z = 0 \\ \Sigma M_x = 0 \\ \Sigma M_y = 0 \\ \Sigma M_z = 0 \end{cases} \Rightarrow \begin{cases} N = 100 \\ V_y = D_y - 500 \\ V_z = 600 + 300 + 600 - D_z \\ M_x = 600 \cdot 0,2 - 600 \cdot 0,2 \\ M_y = V_z \cdot 0,25 + 600(0,005 - 0,05) - D_z \cdot 0,5 - 100 \\ M_z = -V_y \cdot 0,25 + 100 \cdot 0,2 - D_y \cdot 0,5 \end{cases} \quad (4)$$

Deste modo, substituindo os valores já obtidos, tem-se os valores dos esforços internos em G como mostra a equação 5.

$$\begin{cases} N = 100 \\ V_y = 230 - 500 \\ V_z = 1500 - 623 \\ M_x = 0 \\ M_y = 219,25 - 27 - 311,5 - 100 \\ M_z = 57,5 + 20 - 135 \end{cases} \Leftrightarrow \begin{cases} N = 100 \text{ N} \\ V_y = -230 \text{ N} \\ V_z = 877 \text{ N} \\ M_x = 0 \text{ N} \\ M_y = -219,25 \text{ N} \\ M_z = -57,5 \text{ N} \end{cases} \quad (5)$$

## 4 Cálculo das Tensões

Segundo a Teoria da Máxima Energia de Distorção (TMED) é possível reduzir as tensões nos pontos A e B a uma única tensão equivalente dada pela equação 6.<sup>2</sup>

$$\sigma_v = \sqrt{\frac{1}{2} [(\sigma_{11} - \sigma_{22})^2 + (\sigma_{22} - \sigma_{33})^2 + (\sigma_{33} - \sigma_{11})^2] + 3(\sigma_{12}^2 + \sigma_{23}^2 + \sigma_{31}^2)} \quad (6)$$

Para obter as tensões demandadas pela equação 6 o problema será dividido em obtenção das tensões normais e obtenção das tensões cisalhantes.

## 4.1 Cálculo dos momentos de inércia

Para o cálculo das tensões na seção circular, faz-se necessário o cálculo do seu momento de inércia como mostra a equação 7.<sup>1</sup>

$$I = \frac{\pi d^4}{64} = \frac{\pi \cdot (10 \cdot 10^{-3})^4}{64} = 4,9087385 \cdot 10^{-10} \text{ m}^4 \quad (7)$$

É também necessário o cálculo do momento polar de inércia (J) como exposto na equação 8.<sup>1</sup>

$$J = \frac{\pi \cdot d^4}{32} = 2I = 9,817477 \cdot 10^{-10} \text{ m}^4 \quad (8)$$

## 4.2 Tensão Normal

A tensão normal ( $\sigma_{11}$  ou  $\sigma_{xx}$ ) terá componentes fruto de  $N$ ,  $M_y$  e  $M_z$  como mostra a figura 4.

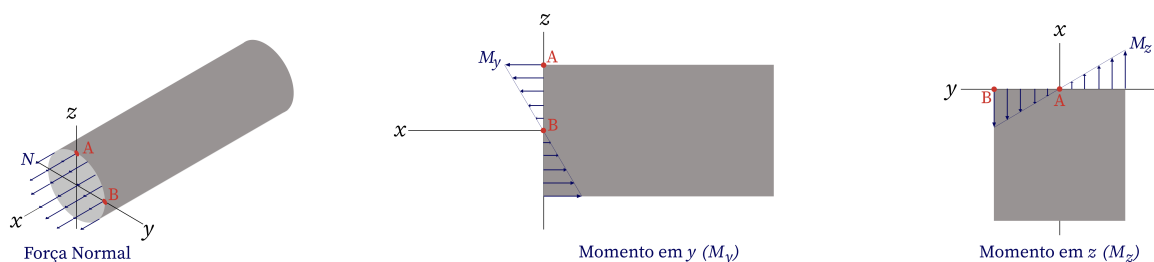


Figura 4: Diagrama das componentes das tensão normal

### 4.2.1 Tensão normal devido a N

A componente da tensão normal devido a  $N$  pode ser dada pela equação 9,<sup>1</sup> sendo  $A$  a área da seção transversal. Neste caso, a tensão em A será igual a tensão em B.

$$\sigma_{xx_N} = \frac{N}{A} \quad (9)$$

Deste modo, pode ser obtido os componentes da tensão normal devido a  $N$  nos dois pontos como mostra a equação 10.

$$\sigma_{xx_{N_A}} = \sigma_{xx_{N_B}} = \frac{100}{\pi \cdot (5)^2} = 1,273240 \text{ MPa} \quad (10)$$

### 4.2.2 Tensão normal devido a $M_y$

A componente da tensão normal devido a  $M_y$  pode ser dada pela equação 11,<sup>1</sup> sendo  $z$  a distância do ponto em  $z$  a linha neutra.

$$\sigma_{xx_{M_y}} = \frac{-M_y \cdot z}{I} \quad (11)$$

Neste caso, a tensão em B será zero, pois este se encontra na linha neutra. Assim, pode se obter os componentes da tensão normal devido a  $M_y$  nos dois pontos como mostra a equação 12.

$$\sigma_{xx_{M_y A}} = \frac{-(-219,25) \cdot (5 \cdot 10^{-3})}{4,9087385 \cdot 10^{-10}} = 2233,262161 \text{ MPa} \quad (12)$$

$$\sigma_{xx_{M_y B}} = 0 \text{ MPa}$$

#### 4.2.3 Tensão normal devido a $M_z$

A componente da tensão normal devido a  $M_z$  pode ser dada pela equação 13,<sup>1</sup> sendo  $y$  a distância do ponto em  $y$  até a linha neutra.

$$\sigma_{xx_{M_z}} = \frac{-M_z \cdot y}{I} \quad (13)$$

Neste caso, a tensão em A será zero, pois este se encontra na linha neutra. Assim, pode se obter os componentes da tensão normal devido a  $M_y$  nos dois pontos como mostra a equação 14.

$$\sigma_{xx_{M_z A}} = 0 \text{ MPa}$$

$$\sigma_{xx_{M_z B}} = \frac{-(-57,5) \cdot (5 \cdot 10^{-3})}{4,9087385 \cdot 10^{-10}} = 585,690191 \text{ MPa} \quad (14)$$

#### 4.2.4 Tensão normal equivalente

Com todos os componentes é possível calcular a tensão normal equivalente dada pela equação 15.

$$\begin{aligned} \sigma_{xx} &= \sigma_{xx_N} + \sigma_{xx_{M_y}} + \sigma_{xx_{M_z}} \\ \sigma_{xx_A} &= 1,2732395 + 2233,262161 + 0 = 2234,535401 \text{ MPa} \\ \sigma_{xx_B} &= 1,273240 + 0 + 585,690191 = 586,963430 \text{ MPa} \end{aligned} \quad (15)$$

### 4.3 Cálculo das tensões cisalhantes

As tensões cisalhantes não nulas ( $\sigma_{12}$  e  $\sigma_{31}$ , ou ainda,  $\tau_{xy}$  e  $\tau_{xz}$ ) terão componentes fruto de  $M_x$ ,  $V_y$  e  $V_z$  como mostra a figura 5.

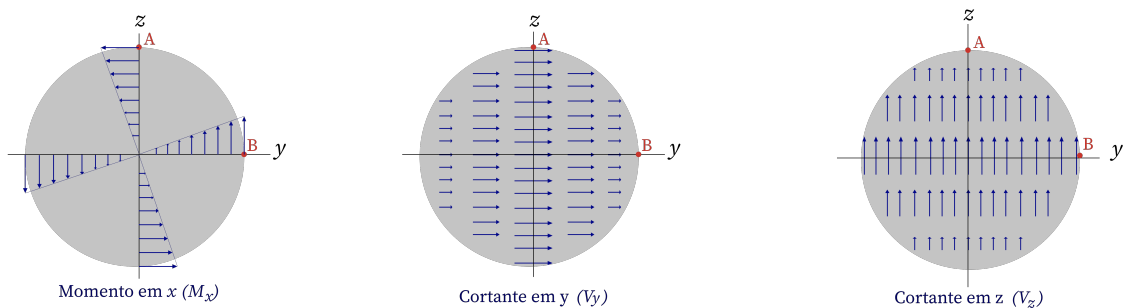


Figura 5: Diagrama das componentes das tensões cisalhantes

### 4.3.1 Tensão cisalhante devido a $M_x$

A tensão torsora devido a  $M_x$  pode ser obtida via a equação 16,<sup>1</sup> sendo R o raio da seção.

$$\tau_{\text{torção}} = \frac{M_x \cdot R}{J} \quad (16)$$

$M_x$  é nulo, logo, sua componente cisalhante também o será.

### 4.3.2 Tensão cisalhante devido a $V_y$

A tensão cisalhante devido a  $V_y$  ( $\tau_{xy}$ ) pode ser dada pela equação 17.<sup>1</sup> Sendo Q o momento estático de área, e t a espessura da seção transversal. Os valores de  $A'$  e  $\bar{y}$  estão explicitados na figura 6.

$$\begin{aligned} \tau_{xy} &= \frac{V_y \cdot Q}{I \cdot t} \\ Q &= A' \cdot \bar{y} \end{aligned} \quad (17)$$

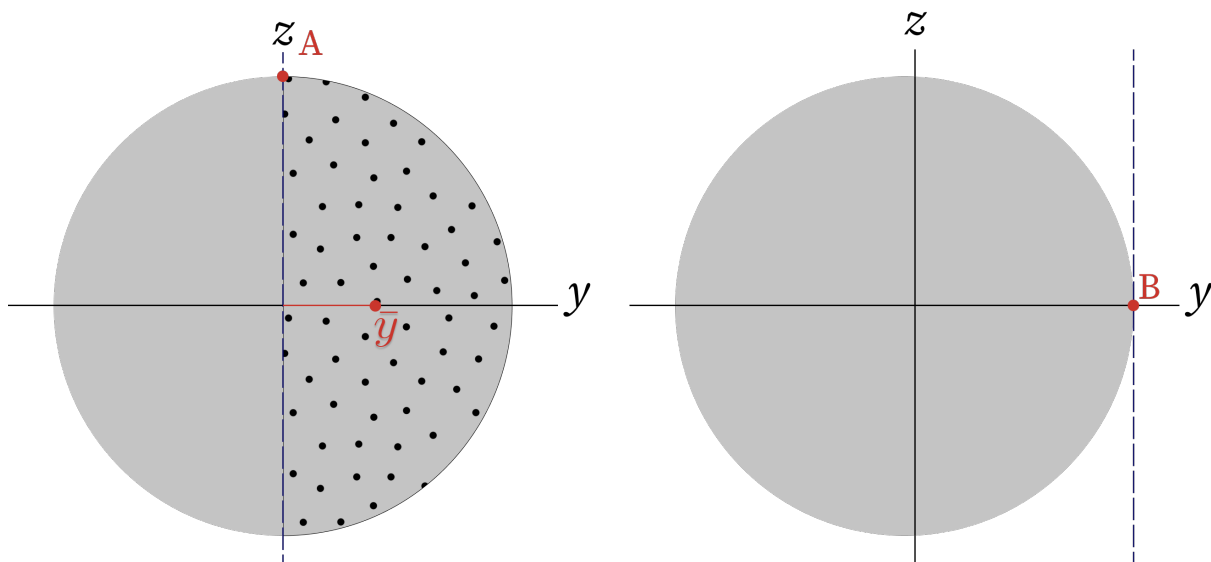


Figura 6: Diagrama de Q para os pontos A e B

A tensão em B será zero, pois seu  $A'$  será zero como mostra a figura 6. Já a área do semi-círculo de A e a distância  $\bar{y}$  podem ser obtidas via a equação 18.<sup>1</sup>

$$A'_A = \frac{\pi \cdot r^2}{2}; \quad \bar{y} = \frac{4 \cdot r}{3\pi} \quad (18)$$

Assim, pode se obter os componentes da tensão normal devido a  $V_y$  nos dois pontos como mostra a equação 19.

$$\tau_{xy_A} = \frac{(-230) \cdot \left(\left(\frac{5 \cdot 10^{-3} \cdot \pi}{2}\right) \cdot \left(\frac{4 \cdot 5 \cdot 10^{-3}}{3\pi}\right)\right)}{(4,9087385 \cdot 10^{-10}) \cdot (10 \cdot 10^{-3})} = -3,904601 \text{ MPa} \quad (19)$$

$$\tau_{xy_B} = 0 \text{ MPa}$$



### 4.3.3 Tensão cisalhante devido a $V_z$

De modo análogo, a tensão cisalhante devido a  $V_z$  ( $\tau_{xz}$ ) pode ser dada pela equação 20.<sup>1</sup> Sendo novamente  $Q$  o momento estático de área, e  $t$  a espessura da seção transversal. Os valores de  $A'$  e  $\bar{z}$  estão explicitados na figura 7.

$$\begin{aligned}\tau_{xy} &= \frac{V_z \cdot Q}{I \cdot t} \\ Q &= A' \cdot \bar{z}\end{aligned}\tag{20}$$

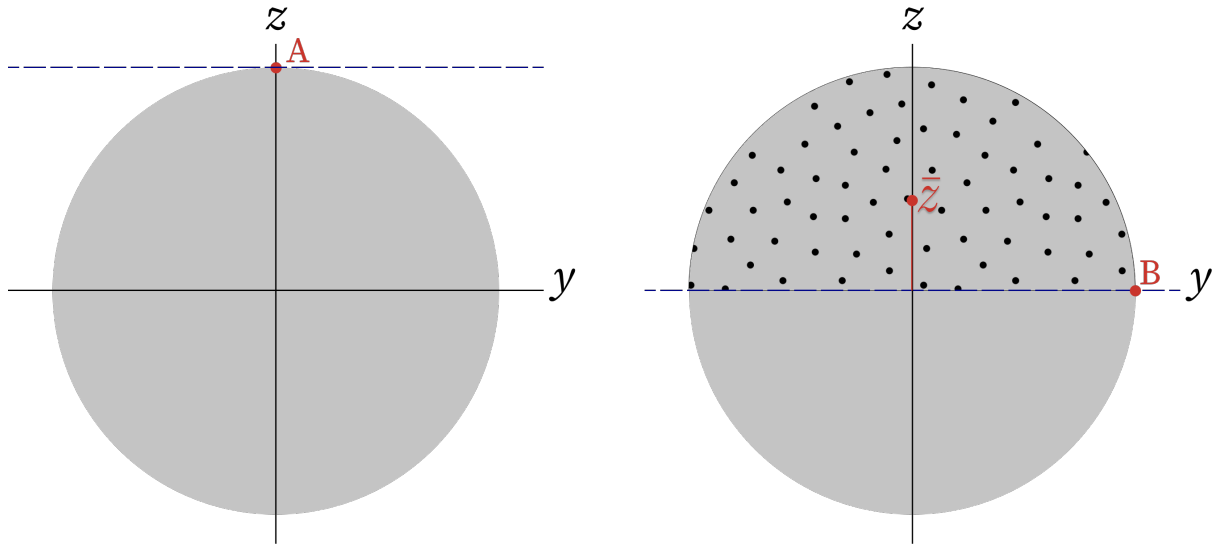


Figura 7: Diagrama de  $Q$  para os pontos A e B

A tensão em A será zero, pois seu  $A'$  será zero como mostra a figura 7. Já a área do semi-círculo de B e a distância  $\bar{z}$  podem ser obtidas via a equação 21.<sup>1</sup>

$$A'_B = \frac{\pi \cdot r^2}{2}; \quad \bar{z} = \frac{4 \cdot r}{3\pi}\tag{21}$$

Assim, pode se obter os componentes da tensão normal devido a  $V_z$  nos dois pontos como mostra a equação 22.

$$\begin{aligned}\tau_{xz_A} &= 0 \text{ MPa} \\ \tau_{xz_B} &= \frac{(877) \cdot \left(\left(\frac{5 \cdot 10^{-3} \cdot \pi}{2}\right) \cdot \left(\frac{4 \cdot 5 \cdot 10^{-3}}{3\pi}\right)\right)}{(4,9087385 \cdot 10^{-10}) \cdot (10 \cdot 10^{-3})} = 14,888414 \text{ MPa}\end{aligned}\tag{22}$$

## 4.4 Cálculo das tensões equivalentes

Iniciar-se-á o cálculo das tensões equivalentes sumariando os valores até então em A e B como mostram as equações 23 e 24 respectivamente.

$$A : \begin{cases} \sigma_A = 2234,535401 \text{ MPa} \\ \tau_{xy_A} = -3,904601 \text{ MPa} \\ \tau_{xz_A} = 0,0 \text{ MPa} \end{cases}\tag{23}$$

$$B : \begin{cases} \sigma_B = 586,963430 \text{ MPa} \\ \tau_{xy_A} = 0,0 \text{ MPa} \\ \tau_{xz_A} = 14,888414 \text{ MPa} \end{cases} \quad (24)$$

Retornando a equação 6, neste caso em particular, é possível reescrevê-la removendo os termos iguais a zero como mostra 25. Assim, é possível calcular as tensões equivalentes em A e B como mostra a equação 26.

$$\sigma_{eq} = \sqrt{\sigma_{xx}^2 + 3(\tau_{xy}^2 + \tau_{xz}^2)} \quad (25)$$

$$\begin{aligned} \sigma_{eq_A} &= \sqrt{2234,535401^2 + 3((-3,904601)^2 + 0^2)} \\ \sigma_{eq_B} &= \sqrt{586,963430^2 + 3(0^2 + 14,888414^2)} \end{aligned} \quad (26)$$

Por fim obtém-se as tensões equivalentes nos pontos A e B como mostra 27.

$\begin{aligned} \sigma_{eq_A} &= 2234,545635 \text{ MPa} \\ \sigma_{eq_B} &= 587,529627 \text{ MPa} \end{aligned}$
---

(27)

## 5 Cálculo dos coeficientes de segurança

É possível calcular os coeficientes de segurança usando a equação 28.<sup>1</sup>

$$n = \frac{\sigma_{esc}}{\sigma_{adm}} \quad (28)$$

Calculando-se os coeficientes para os pontos A e B obtém-se os resultados expostos na equação 29.<sup>1</sup>

$\begin{aligned} n_A &= \frac{\sigma_{esc}}{\sigma_{eq_A}} = \frac{250}{2234,545635} = 0,111880 \\ n_B &= \frac{\sigma_{esc}}{\sigma_{eq_B}} = \frac{250}{587,529627} = 0,425510 \end{aligned}$
---

(29)

## 6 Conclusão

O trabalho foi realizado com o uso de um caderno Jupyter disponível no GitHub,<sup>4</sup> agradecemos ao Professor Stumpf pela disponibilidade em sanar dúvidas. Em suma, considerando os valores obtidos na seção 5, concluiu-se que a estrutura não resiste aos esforços aplicados nos pontos A e B. Sugere-se um aumento da espessura da seção ou o uso de um outro material com um maior  $\sigma_{esc}$ .

## Referências

- [1] R. C. Hibbeler. *Resistência dos Materiais*. Sao Paulo, SP: Pearson Education do Brasil, 2010. ISBN: 9788576053736.

- [2] Robert Jones. “Deformation theory of plasticity”. Em: Blacksburg, Virginia, USA: Bull Ridge Pub, 2009, p. 153. ISBN: 9780978722319.
- [3] Chen-Ching Ting. *Internal Forces*. 12 de abr. de 2012. URL: <https://cct.me.ntut.edu.tw/ccteducation/chchting/aiahtm/statics/lecture2011-2/internal.pdf>.
- [4] João Henrique Lima de Vasconcelos e Hugo Matheus Vaz de Araújo. *Trabalho Final de Mecânica dos Sólidos I-A*. 4 de mai. de 2021. URL: [https://github.com/henriquevasconcelos/trabalho\\_final\\_solidos\\_1](https://github.com/henriquevasconcelos/trabalho_final_solidos_1).